

	焼結 %	ラップ %	ゴア %	バンク - バー %	雜原 %	主料 原計 %
第1期	50.0	13.9	10.0	20.0	6.10	100.0
第2期	50.0	13.9	10.0	20.0	6.1	100

備考 (1) ララップは 30mm 以上, 焼結, ゴア, バンク-バーは 10mm 以上に篩分使用  
(2) 平炉滓は 22mm~75mm を使用

#### IV. 結 語

最近に於ける成績向上の主な原因としては次のことがいえる。すなわち、

- 1) コークス性質の安定(強度, 粒度, 灰分), 2) 鉍石, 副原料及びコークスの粒度調整に力を注いだ。
- 3) 原料の計画的な使用

### (8) 机上模型爐による角型熔鑛爐と丸型熔鑛爐の比較研究

(Comparison between Square-Type Blast Furnaces and Normal Blast Furnaces)

日立製作所冶金研究所 ○中 村 信 夫  
佐 藤 豊

#### I. 緒 言

現在の一般丸型熔鉍爐と、特殊な経過を経て我国に独特な発達を見た角型熔鉍爐は、その優劣を単に、単位爐内容積当りの爐壁面積の大小のみにより決することは早計であり、爐内通風の均一性、不活性核心の発生状況等、爐内安定条件具備の程度や建設の難易、使用原料等凡ゆる面より総合して考案することが必要であろう。

筆者等は優良特殊鋼原鉄として稼働中の實際爐、或いは 1 噸試驗爐によつて此の種角型熔鉍爐の特性を究明し來つたが、これに併行して、机上ガラス模型爐によつて装入物の降下状況(含スリップ現象)、溶解状況等を觀察し公表して來たが、今回はこれに引続き行つた。薄鉄板製の理想形と見做される近代丸型爐と本角型爐の爐内通風の均一性について行つた實驗結果の一部を報告する。

#### II. 試 験 の 方 法

先づ熔鉍爐の基本型より離れて、垂直円柱形、垂直矩形柱型の羽口線以上に装入した場合について實驗し、次で丸型爐として Pavloff の改良型丸爐をとり、湯溜り径 118mmφ、爐胸径 145mmφ、爐腹径 275mmφ、総高 480mm のものを用い、羽口は 4mmφ のもの 10 本設けたものである。これに対して、角爐の場合は、湯溜りの大きさ 60×120mm、爐胸 70×120mm、爐頂 55×

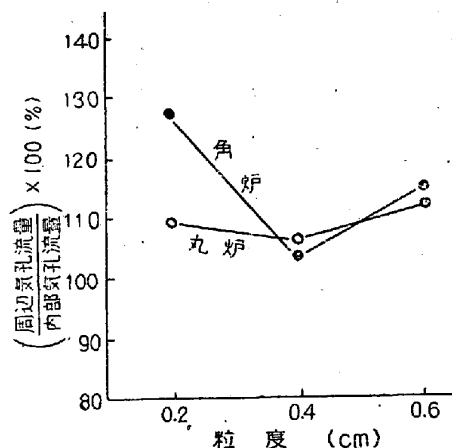
120mm、総高 460mm の基本型と見做せるもので、羽口は 5 本ずつ 120mm の長辺側より挿入した。

測定の方法としては、脱水硫酸銅を爐内装入物断面に撒布して、羽口より湿空気を送つて、一定時間送風後の各部の吸湿量を速秤する方法と、同一氣孔率を有する木炭球に水を飽和せしめ、これを爐内に配置して、乾燥空気を送つて、その乾燥状況より、爐内通風の均一性を測定すると共に、爐内に小パイプを挿入して、静、動圧を測定する方法等を併用した。

装入物は粒径 0.2~0.8mmφ の 4 種類の大きさの砂粒を用いた。

#### III. 實驗結果及び考察

先づ垂直円筒と垂直角筒の場合、送風量をレイノルズ数 3000 以下の 4.5/min として、各粒度に於ける Stock line の爐周辺氣孔流量と内部氣孔流量の比率を示すと第 1 圖の通りであつて、粒径の小さい時は、角爐の方が周辺通風効果大で丸爐は少くないが、装入物粒径が大きくなると此の差は小さくなる。

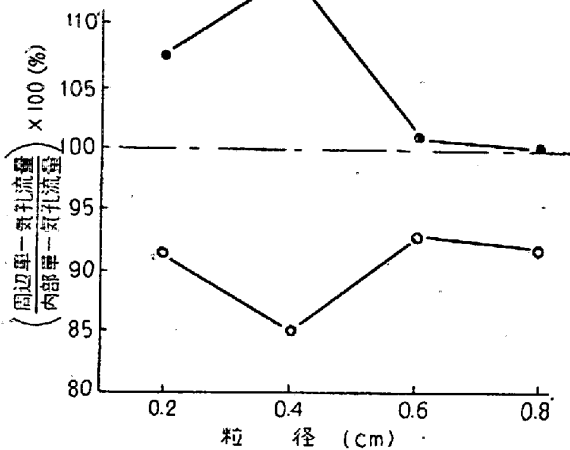


第 1 圖 垂直圓筒と角筒の周邊及び内部の單一氣孔平均值通風比率の變化

これは、實際熔鉍爐の形になつても傾向は変わらず、一例を示すと第 2 圖の如くであつて、注目すべきは、常に角爐は周辺通風効果が大きく、これに反し丸爐は羽口間隔の角爐に比し大きいに拘わらず、内部通風効果の大きいことであつて、これが装入物粒径が大きくなると、角爐は内外の通風差は全く平均してしまふが、丸爐は依然として内部通風が大であつた。

その他これに関連した實驗結果を得たが、筆者等は、それに先立ち、爐内通風性の理論的考察を行つた。即ち、これら模型實驗の信頼性を流体力学の第 1 次近似計算によつて検討せんとしたのである。

先づ、計算に當り、次の仮説を設定した。



第 2 圖 丸爐と角爐の周邊流量と内部流量比率

- (1) 炉は円筒形と角筒形の両者とし、衝風は炉底湯溜り部に於て静圧化されたものが上昇する。
- (2) 送风量, 温度は一定とする。
- (3) 装入物は一定の球体で, 平面に対して最密充填形式にある。
- (4) ガス流路はレイノルズ数の層流圈内にある場合は上下に単一で連続しているものとする。

丸炉及び角炉の両者について, 導入の過程は省略して得られた一般式は次の通りである。

1) 丸型の場合

$$q_1 = \frac{\alpha^2 Q}{\delta n' + Q^2(N - n')} \dots\dots\dots(1)$$

$$q_2 = \frac{\alpha^2 Q}{\delta^2 n' + 4\alpha^2(N - n')} \dots\dots\dots(2)$$

ii) 角炉の場合

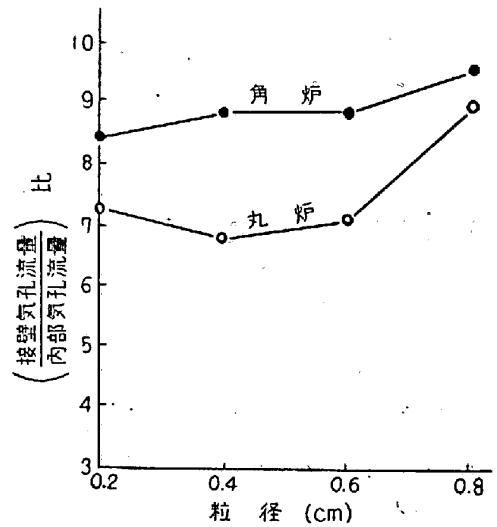
$$q_1' = \frac{\alpha^2 Q}{\beta^2 n' + 4r^2 + \alpha^2(N - 4 - n')} \dots\dots\dots(3)$$

$$q_3 = \frac{\beta^2 Q}{\beta^2 n' + 4r^2 + \alpha^2(N - 4 - n')} \dots\dots\dots(4)$$

$$q_4 = \frac{r^2 Q}{\beta^2 n' + 4r^2 + \alpha^2(N - 4 - n')} \dots\dots\dots(5)$$

- 茲に,  $q_1$ : 丸炉内部単一通風孔流量 (cm<sup>3</sup>/sec)
- $q_2$ : 同壁面単一通風孔流量 (〃)
- $q_1'$ : 角炉内部単一通風孔流量 (〃)
- $q_3$ : 同壁面 " " (〃)
- $q_4$ : 同隅角部 " " (〃)
- $N$ : 全通気孔数 (ヶ)
- $Q$ : 炉内総流量 (cm<sup>3</sup>/sec)
- $\alpha$ : 装入物間通過面積 (cm<sup>2</sup>)
- $\beta$ : 半面壁-装入物間面積 (〃)
- $r$ : 隅角部-装入物間面積 (〃)
- $\delta$ : 丸炉壁-装入物間面積 (〃)
- $n'$ : 全通気孔数 (ヶ)

上記 (1), (2), (3), (4) 式を用いて, 本実験の場合を検討するに先ず単一接壁気孔流量 ( $q_2; q_3 + q_4$ ) と内部単一気孔流量 ( $q_1; q_1'$ ) の比をみるに, 第 3 図の通りであつて, 前記第 1, 第 2 図の角炉曲線と丸炉曲線の相対位置が非常に近似していることを知る。これを別箇に計算した。周辺全通風量と内部全流量の比をとつても全く同一の傾向であつて, 曲線の相対値と共に, 装入物粒度による関係も傾向は良く実験結果を証明している。



第 3 圖 接壁単一気孔流量と内部単一気孔流量比理論値の丸爐と角爐の比較

II. 結 論

(1) 流体力学の第 1 次近似計算によると炉壁周辺気孔流量と, 内部気孔流量の比は常に 1 以上であり, 炉断面積の小さくなるに従い, 逆に云えば装入物粒径の大きくなるに従つて丸炉と角炉の差は小さくなる。

(2) 丸型熔鋸炉と角型熔鋸炉のストックラインの通風性は, 第一次近似計算及び垂直炉通風実験結果とも傾向を一にしているが, 装入物粒径が大きくなると, 角炉の通風性は丸炉のそれよりも遙かに良くなる。

(3) 炉腹部に於いては, 両者とも内外の流量差は小さくなる。

(4) これを要するに, 本実験に関する限り, 角炉が一般的に優れているとは必ずしもいえないが, 少なくとも燃料として木炭の如く其の製性上サイズの大きなものが多く, 粉化する為適当に破碎することも事実上困難なものを用いねばならない小型木炭鉄炉に於いては, 丸炉より優れている一つの特性を示すものであろう。